

· 药学研究 ·

太子参药材中环肽 A、B 含量分析及其动态研究

邹立思, 傅兴圣, 刘训红*, 巢建国, 谷巍, 马阳, 侯娅, 李艳蓉

(南京中医药大学药学院, 江苏南京 210023)

摘要: 目的 分析不同产区、地域及采收时间太子参中环肽 A(HA)、B(HB)含量变化, 为探索太子参药材品质形成过程提供基础资料。方法 用高效液相色谱法同时测定太子参中 HA、HB 含量。结果 不同产区、同一产区不同地域及不同采收时间太子参中 HA、HB 的含量存在差异, HA、HB 的动态积累具有一定规律。结论 不同产区太子参中 HA、HB 的含量及其比值具有差异相关性, 太子参中 HA、HB 的最高积累总值时间段与传统采收期基本一致。

关键词: 太子参; 高效液相色谱法; 太子参环肽 A; 太子参环肽 B

中图号: R282.4

文献标志码: A

文章编号: 1672-0482(2013)02-0175-04

Study on the Dynamic Change of Heterophyllin A and B in *Radix Pseudostellariae*

ZOU Li-si, FU Xin-sheng, LIU Xun-hong*, CHAO Jian-guo, GU Wei, MA Yang, HOU Ya, LI Yan-rong

(School of Pharmacy, Nanjing University of Chinese Medicine, Nanjing, 210023, China)

ABSTRACT: OBJECTIVE To analyze the content changes of heterophyllin A (HA) and B (HB) in *Radix Pseudostellariae* from different habitats, regions and harvest time, and to provide the basic information for exploring the quality forming process of *Radix Pseudostellariae*. **METHODS** The content of HA and HB was determined by RP-HPLC. **RESULTS** The contents of HA and HB in *Radix Pseudostellariae* from different habitats, regions and harvest time were variable. Dynamic change of HA and HB in *Radix Pseudostellariae* in different harvest time showed a regular pattern. **CONCLUSION** There are correlative differences between the content and the ratio of HA and HB in *Radix Pseudostellariae* from different habitats. The total amount of HA and HB is the highest in the traditional harvest time.

KEY WORDS: *Radix Pseudostellariae*; HPLC; HA; HB

太子参为常用大宗中药材, 系石竹科植物孩儿参 *Pseudostellaria heterophylla* (Miq.) Pax et Hoffm. 的干燥块根^[1], 具益气健脾、生津润肺之功效, 临床用于脾虚体倦、食欲不振、病后虚弱、气阴不足、自汗口渴、肺燥干咳等症, 尤其是治疗小儿脾虚而食欲不佳的要药, 民间常作强壮滋补品。现代研究表明, 太子参含有环肽、三萜皂苷、多糖等成分, 具有抗疲劳、抗缺氧、抗应激、抗衰老等药理作用, 近年来在治疗肝炎、糖尿病、冠心病、心绞痛、甲亢、淋巴结核等难治病症和开发功能性保健品等方面取得了新的进展^[2-12]。研究发现, 不同产区太子参中化学成分的积累变异较大, 尤其是环肽类化合物^[13]。本文实地采集太子参道地产区或规范化种植基地的样品, 用 HPLC 法分析不同产区、同一产区不同地域

及不同采收时间太子参中 HA、HB 的积累变化, 为探索太子参药材品质形成过程提供基础资料。

1 材料

Agilent 1100 液相色谱仪(自动进样器), Agilent 1100 紫外检测器; METTLER AE240 电子天平; KQ-500 B 型超声波清洗器(昆山市超声仪器有限公司); RE-52A 型旋转蒸发器(上海亚荣生化仪器厂)。

甲醇(分析纯, 南京化学试剂有限公司, 批号: 081110865); 甲醇(HPLC 级, 南京化学试剂有限公司, 批号: 081020942); 乙腈(色谱纯, 迪玛公司, 批号: 821801); 定量滤纸(直径 9 cm, 杭州新华纸业有限公司, 批号: 289); 实验用水均为二次蒸馏水。

太子参环肽 A、太子参环肽 B 对照品由中国科

学院昆明植物研究所植物化学开放实验室谭宁华研究员提供,纯度为 98%以上。

太子参样品均为实地采集,编号为:S1、S2 依次为福建柘荣 08 年、09 年产太子参,S3~S6 依次为柘荣东源、堵平、黄柏及宅中 4 个乡镇产太子参,S7 贵州施秉产太子参,S8、S9 安徽宣城产太子参,S10~S13 依次为句容袁巷、茅山、朱巷及白龙地四个村产太子参,均为 7 月上旬采收。S14~S18 依次为 2009 年 05 月 10 日、6 月 4 日、6 月 19 日、7 月 5 日和 7 月 21 日采于句容天王镇马梗村。所有样品均经刘训红教授鉴定为石竹科植物孩儿参 *Pseudostellaria heterophylla* (Miq.) Pax et Hoffm. 的干燥块根。留样凭证存放于南京中医药大学中药鉴定实验室。

2 方法与结果

2.1 色谱条件

色谱柱: C_{18} 色谱柱($4.6\text{ mm} \times 250\text{ mm}, 5\text{ }\mu\text{m}$, TURNER),流动相 A:乙腈,流动相 B:水;梯度洗脱条件:0~10 min, A 相 2%→30%, B 相 98%→70%;10~20 min, A 相 30%→45%, B 相 70→55%;20~25 min, A 相 45%→55%, B 相 55%→45%;25~30 min, A 相 55%→2%, B 相 45%→98%, 30~35 min, A 相 2%, B 相 98%;流速:1.0 mL/min;柱温:30℃;检测波长:203 nm;进样量:20 μL。

2.2 对照品溶液的配制

精密称取太子参环肽 A 对照品 4.19 mg 至 100 mL 量瓶中、太子参环肽 B 对照品 11.10 mg 至 10 mL 量瓶中,分别用甲醇定容至刻度,作为对照品贮备液。

2.3 供试品溶液的制备^[14]

取本品粉末(过 4 号筛)2 g,精密称定,精密加入甲醇 50 mL,称定质量,超声处理(功率 250 W,频率 30 kHz)45 min,放冷,再称定质量,用甲醇补足减失的重量,摇匀,过滤,精密量取续滤液 25 mL,置圆底烧瓶中,用旋转蒸发仪浓缩至干,残渣加甲醇溶解并转移至 10 mL 量瓶中,加甲醇稀释至刻度,摇匀,即得。

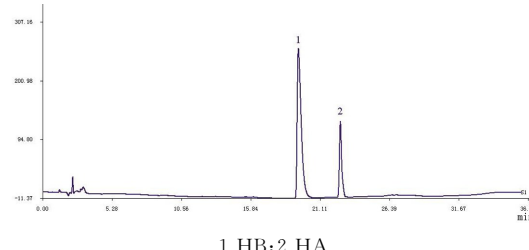
2.4 标准曲线的制备、检测限与定量限

分别精密吸取对照品贮备液 0.125、0.25、0.5、1、2、4 mL 置 10 mL 量瓶中,用甲醇定容至刻度,摇匀,精密吸取上述不同浓度的对照品溶液各 20.00 μL,进样作 HPLC 分析,以对照品的峰面积(Y)对相应的浓度(X)进行线性回归,得回归方程、相关系数

及线性范围(图 1): HA: $Y = 55.174X - 13.257, r = 0.9998$; HB: $Y = 72.104X - 29.541, r = 0.9998$, HA、HB 分别在 $0.524 \sim 16.77 \text{ }\mu\text{g/mL}$ 、 $1.388 \sim 44.40 \text{ }\mu\text{g/mL}$ 呈良好的线性关系。以太子参环肽 A、B 的信噪比等于 3($S/N = 3$)时的相应浓度确定最低检测限(LOD)分别为 $0.1141 \text{ }\mu\text{g/mL}$ 、 $0.1636 \text{ }\mu\text{g/mL}$;以太子参环肽 A、B 的信噪比等于 10($S/N = 10$)时的相应浓度确定最低定量限(LOQ)分别为 0.3879 、 $0.5561 \text{ }\mu\text{g/mL}$ 。

2.5 系统适用性试验

在选定的条件下注入对照品液,按 $n = 5.54(t_R/W_{h/2})^2$ 分别计算色谱柱理论板数 n;按 $R = 2(t_{R_2} - t_{R_1})/(W_1 + W_2)$ 分别计算分离度 R。太子参环肽 A、B 的保留时间(min)分别为 22.5083、19.3250, 理论板数分别为 70 225、17 615, 分离度为 1.71, 达到相关要求。见图 1。



1.HB;2.HA

图 1 太子参环肽 A、B 混合对照品 HPLC 色谱图

2.6 方法学考察

精密度试验:取含太子参环肽 A、B 浓度分别为 16.77 、 $44.40 \text{ }\mu\text{g/mL}$ 的混标溶液,重复进样 5 次,记录峰面积,计算太子参环肽 A、B 含量 RSD 分别为 1.28%、1.34%。

稳定性试验:取样品(S18)溶液,分别于 1、2、4、8、12、16 h 在上述色谱条件下进样测定,记录峰面积,计算太子参环肽 A、B 含量的 RSD 分别为 1.91%、1.72%。样品 S18 为在传统采收期采自太子参道地产区句容,故作为方法学考察样品用。

重现性试验:精密称取样品(S18)2.0 g,5 份,依法制备供试品溶液,在上述色谱条件下进样测定,记录峰面积,计算太子参环肽 A、B 含量的 RSD 分别为 2.31%、1.63%。

加样回收试验:精密称取样品(S18)1.0 g,5 份,加入相同含量的对照品溶液,按上述方法制备供试品溶液,在上述色谱条件下进行 HPLC 分析,计算回收率。太子参环肽 A 的平均回收率($n = 5$)为 99.15%,RSD 为 2.07%;太子参环肽 B 的平均回收率($n = 5$)为 99.70%,RSD 为 2.95%。见表 1~2。

表 1 太子参环肽 A 加样回收试验结果($n=5$)

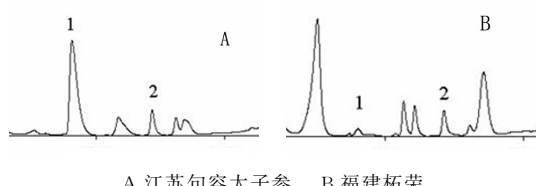
编号	样品量/g	样品中含量/ μg	加入量/ μg	实测值/ μg	回收率%	平均回收率%	RSD%
1	1.0056	33.8	35.1	69.4	102.67		
2	1.0042	33.7	35.1	68.3	99.57		
3	1.0046	33.8	35.1	68.1	97.05	99.15	2.07
4	1.0045	33.8	35.1	69.3	101.82		
5	1.0041	33.7	35.1	67.7	103.39		

表 2 太子参环肽 B 加样回收试验结果($n=5$)

编号	样品量/g	样品中含量/ μg	加入量/ μg	实测值/ μg	回收率/%	平均回收率%	RSD%
1	1.0056	165.8	160.0	328.7	100.32		
2	1.0042	165.6	160.0	323.4	102.36		
3	1.0046	165.7	160.0	330.4	99.62	99.70	2.95
4	1.0045	165.6	160.0	321.9	104.11		
5	1.0041	165.6	160.0	330.1	98.47		

2.7 样品测定

精密吸取供试品溶液 20.00 μL , 注入液相色谱仪, 按上述色谱条件, 采用外标法进行测定。根据相应线性关系计算样品中 HA、HB 的含量(图 2, 表 3)。分别对不同产区、同一产区不同地域及不同采收时间太子参中 HA、HB 的含量作图分析。见图 3~5。



A.江苏句容太子参 B.福建柘荣

图 2 太子参样品 HPLC 色谱图

表 3 太子参环肽 A、B 含量测定结果(%, $n=2$)

编号	HA	HB	编号	HA	HB
S1	0.003 3	0.000 7	S10	0.001 1	0.013 5
S2	0.003 0	0.000 7	S11	0.002 4	0.020 2
S3	0.003 3	0.000 7	S12	0.001 0	0.015 2
S4	0.003 0	0.000 8	S13	0.001 1	0.017 4
S5	0.003 2	0.001 5	S14	0.003 4	0.018 3
S6	0.003 3	0.001 7	S15	0.003 8	0.014 6
S7	0.000 9	0.014 0	S16	0.002 7	0.018 3
S8	0.001 9	0.014 1	S17	0.003 5	0.016 0
S9	0.002 4	0.016 3	S18	0.003 4	0.016 5

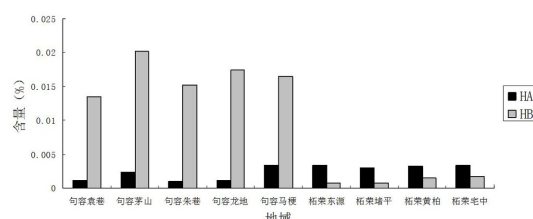


图 3 不同产地太子参中 HA、HB 含量变化

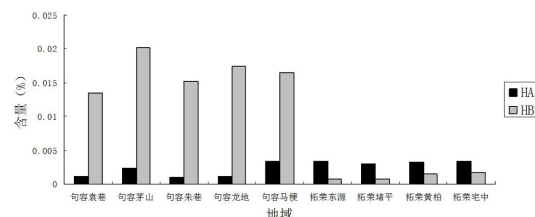


图 4 同一产区不同地域太子参中 HA、HB 含量变化

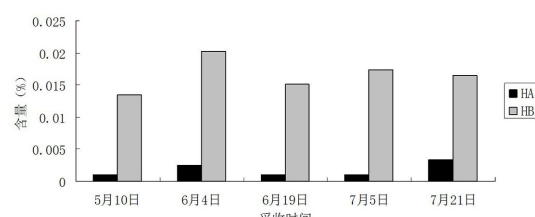


图 5 不同采收时间太子参中 HA、HB 含量变化

3 讨论

实验结果表明, 不同产区太子参中太子参环肽 A、B 的含量存在差异。环肽 A、B 总量, 江苏句容最高, 安徽宣城、贵州施秉次之, 福建柘荣最低; 环肽 A 含量, 福建柘荣 > 江苏句容 > 安徽宣城 > 贵州施秉; 环肽 B 含量, 江苏句容 > 安徽宣城 > 贵州施秉 > 福建柘荣; A、B 之比值, 江苏句容 1 : 12, 安徽宣城 1 : 7, 贵州施秉 1 : 14, 福建柘荣 1 : 0.3。这可能与太子参种质、产区栽培习惯或产区的气候、土壤等生态环境有关, 还有待于进一步深入研究。

同一产区不同地域太子参中环肽 A、B 的含量具有一定差异。环肽 A、B 总量, 江苏句容产区以茅山、马梗为高, 其中环肽 A 以马梗最高, 环肽 B 以茅山最高, 与句容产区其它三个取样地相比, 马梗与茅山的海拔较高, 但马梗与茅山因坡向导致的光照强度有明显差异; 福建柘荣以宅中、黄柏为高, 且环肽 A、B 的动态积累呈正相关, 枯荣产区不同取样点也

同样存在海拔、坡向的显著差异。因此同一产区太子参环肽 A、B 的含量差异可能与产区的光照强度、昼夜温差等小环境有关。

不同采收时间太子参中太子参环肽 A、B 的动态积累呈现规律性变化, 环肽 A、B 的动态积累呈负相关, 环肽 A、B 的总量无明显差异, 科学采收太子参, 既要考虑太子参环肽 A、B 等指标物质的含量, 又要考虑太子参药材的生物产量, 故民间以 6、7 月作为太子参的传统采收期。

本实验以太子参道地产区或规范化种植基地为研究对象, 用 HPLC 法分析不同产区、同一产区不同地域及不同采收时间太子参中 HA、HB 的积累变化, 为探索太子参药材品质形成过程提供基础资料。

参考文献:

- [1] 国家药典委员会. 中华人民共和国药典:一部 [S]. 北京: 化学工业出版社, 2010:67.
- ChPC. Pharmacopoeia Commission of the People's Republic of China: Volume 1 [S]. Beijing: Chemical industry press, 2010: 67.
- [2] 谭宁华, 周俊. 太子参中新环肽-太子参环肽 C[J]. 云南植物研究, 1995, 17(1):60.
Tan NH, Zhou J. A new cyclopeptid from pseudostellaria heterophylla[J]. Acta botanica Yunnanica, 1995, 17(1): 60.
- [3] 丁中涛, 周俊, 谭宁华, 等. 石竹科植物环肽研究进展[J]. 化学研究与应用, 1999, 11(5):492-494.
Ding ZT, Zhou J, Tan NH, et al. Progress in chemistry of cyclic peptides from plants of caryophyllaceae[J]. Chemic Res Applic, 1999, 11(5): 492-494.
- [4] 刘训红, 阚毓铭, 王玉玺. 太子参多糖的研究[J]. 中草药, 1993, 24(3):119-121.
Liu XG, Kan YM, Wang YX. Study on polysaccharides from pseudostellaria heterophylla[J]. Chin Tradit Herb Drugs, 1993, 24(3): 119-121.
- [5] 李灌, 杨秀伟. 太子参(柘荣 1 号)的化学成分研究[J]. 中国中药杂志, 2008, 33(20):2353-2355.
Li Y, Yang XW. Studies on chemical constituents of root tuber of cultivated Pseudostellaria heterophylla (Zheshen No.1)[J]. Chin J Chin Mater Med, 2008, 33(20): 2353-2355.
- [6] 王皓星, 徐绥绪, 张国刚, 等. 太子参化学成分的研究(IV)[J]. 中国药物化学杂志, 1992, 2(3):65-67.
- Wang ZX, Xu SX, Zhang GG, et al. Study on the chemical constituents of pseudostellaria heterophylla (MIQ.)[J]. Chin J Med Chem, 1992, 2(3): 65-67.
- [7] 王玉玺, 刘训红, 李汉宝, 等. 太子参补益作用机理的探讨[J]. 南京部队医药, 1992(5):21-22.
Wang YX, Liu XG, Li HB, et al. Discussion on enriching mechanism of pseudostellaria heterophylla[J]. Nanjing Army Med, 1992(5): 21-22.
- [8] Sheng R, Xu X, Tang Q, et al. Polysaccharide of radix pseudostellariae improves chronic fatigue syndrome induced by poly I:C in mice[J]. Evid Based Complement Alternat Med, 2011(4): 840516.
- [9] 刘训红, 陈彬, 王玉玺. 太子参多糖抗应激和免疫增强作用实验研究[J]. 江苏中医, 2000, 21(10):51-57.
Liu XG, Chen B, Wang YX. Experimental study of stress resistance and immune enhancement effect of pseudostellaria polysaccharide[J]. Jiangsu J Tradit Chin Med, 2000, 21(10): 51-57.
- [10] 刘维俊, 黄光才, 叶小青, 等. 太子参胶囊的药效学研究[J]. 中药新药与临床药理, 1994, 5(3):51,58.
Liu WJ, Huang GC, Ye XQ, et al. Study on the pharmacodynamics of pseudostellaria heterophylla capsule[J]. Tradit Chin Drug Res Clin Pharm, 1994, 5(3): 51,58.
- [11] 刘训红, 陈彬, 王玉玺. 太子参总皂苷药理作用的初步研究[J]. 江苏药学与临床研究, 2000, 8(3):6-8.
Liu XG, Chen B, Wang YX. Preliminary Studies on Pharmacological Action of Total Saponins from Radix Pseudostellariae [J]. Jiangsu Pharm Clin Res, 2000, 8(3): 6-8.
- [12] 倪受东, 夏伦祝, 徐先祥, 等. 太子参多糖对四氧嘧啶糖尿病小鼠的治疗作用[J]. 安徽医药, 2010, 14(5):521-522.
NI SD, XIA LZ, XU XX, et al. Effect of pseudostellaria polysaccharides in diabetic mice by alloxan[J]. Anhui Med Pharm J, 2010, 14(5): 521-522.
- [13] 杨亚滨, 谭宁华, 许文彦, 等. 中药太子参中环肽 A 和 B 含量测定的 HPLC 方法研究[J]. 云南中医学院学报, 2009, 32(6):33-36.
YANG YB, TAN NH, XU WY, et al. Content determination of heterophyllin a and B in pseudostellaria heterophylla by HPLC methods[J]. J Yunnan Univer Tradit Chin Med, 2009, 32(6): 33-36.
- [14] 刘训红, 韩乐, 王丽娟, 等. 太子参药材质量标准研究[J]. 中国药房, 2010, 21(19):1769-1771.
Liu XG, Han L, Wang LJ, et al. Study on Quality Standards of Pseudostellaria heterophylla[J]. Chin Pharm, 2010, 21(19): 1769-1771.

(编辑:董宇)